光伏撬装系列化研究

侯宇迪

大庆油田装备制造集团石油专用设备有限公司 黑龙江大庆

【摘要】本项目针对大庆油田井场地下管线及电缆铺设错综复杂、探明困难, 桩基施工容易对地下管网、电缆损坏的技术难题, 通过开展光伏子阵标准化设计、可移动式预制浅基础光伏橇设计方案研究和光伏撬载 荷分析等研究内容. 成功研制了浅基础光伏撬装, 并形成系列化设计和推广。

【关键词】光伏:撬装:系列化

【收稿日期】2024年8月12日

【出刊日期】2024年9月27日

[DOI] 10.12208/j.jer.20240028

Photovoltaic skid-mounted serialization research

Yudi Hou

Daqing Oilfield Equipment Manufacturing Group Petroleum Special Equipment Co., Ltd., Daqing, Heilongjiang

【Abstract】 This project aims at the technical difficulties of the complicated and difficult exploration of underground pipelines and cables in the Daqing Oilfield well field, and the pile foundation construction is easy to damage the underground pipelines and cables. Through the research contents such as the standardized design of photovoltaic sub-arrays, the design scheme of movable prefabricated shallow foundation photovoltaic skids and the analysis of photovoltaic skid loads, the shallow foundation photovoltaic skid-mounted was successfully developed and serialized design and promotion were formed.

Keywords Photovoltaic; Skid-mounted; Serialization

1 概述

1.1 立项背景

国家能源局 2022 年 9 月 15 日专门复函中国石油等央企,支持推动风光气储氢等一体化新业态新模式。大庆油田确立了"十四五"末建成千万千瓦级新能源示范基地的宏伟目标。

2023 年新建光伏项目 88.7 万千瓦,结合新能源项目建设场地情况,低洼地、湖泊等采用桩基础建设,其余场地均可采用光伏撬建设,占比约 40%~50%,光伏撬需求量约 2.7~6.7 万座。

光伏发电需要的永久征地面积较大,油田内闲 置土地大部分位于中区,且呈碎片化分布,中区管 网密度较大,油田井场地下管线及电缆铺设错综复 杂、探明困难,土地周边油气设施密集。

截止至 2021 年底,大庆油田采油一厂~采油九厂共计拥有地下管道约 96489 公里,2021 年平均失效率为 0.377 次/公里•年。光伏板置于单井管线上存在搬迁的可能。

采用可移动式浅基础光伏撬,可拆卸,可搬迁, 便于维修作业,可以避免桩基础光伏撬在打桩时存 在碰穿管线的风险,因此研究浅基础光伏撬装系列 化设计与推广非常必要。

1.2 国内外现状

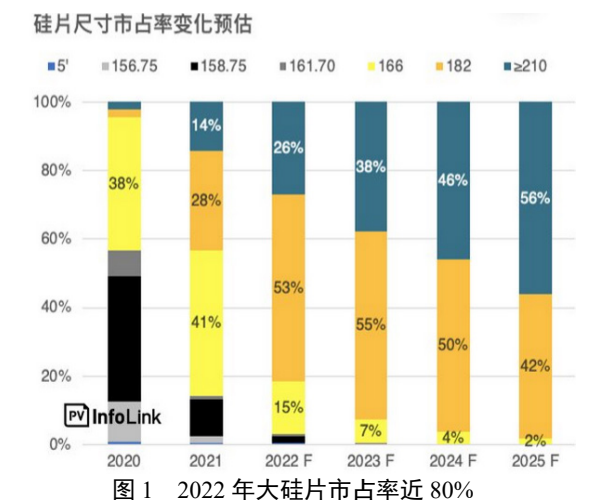
国内大多光伏支架为桩基础设计,桩基础存在基础深、易于地下管线干涉、不便于搬迁等问题。可搬迁、浅基础、利用废旧油管设计的光伏撬支架目前在国内尚无先例。因为我国光伏项目兴起时间较晚,现在国内对其相关的研究工作较少,撬装一体化的设计尚还处于初级阶段。

2 技术总结

- 2.1 光伏子阵标准化设计
- 2.1.1 光伏组件趋势分析及选择

2022 年 2 月, PV InfoLink 发布的 "光伏技术 趋势报告",针对尺寸、电池片、及组件发展进行 了详细的数据分析,并对未来趋势进行预测。随着 2021 年下半年尺寸升级的加速,大尺寸硅片从 2021 侯宇迪 光伏撬装系列化研究

年第三季度开始市场占有率已超过 50%,并持续增加。报告预测,到 2022年,大尺寸硅片包括 182 和 210 的市场占有率将达到 79%。并且,值得注意的是,在大尺寸硅片组件市场占有率快速增加的基础上,210市场占有率则不断攀升,进一步成为主流。



(来源: PV InfoLink 光伏技术趋势报告 2022 年 2 月)

			止到2022年8月30日,我国排名前			_
序号	组件厂商	出货量	功率区间(版型尺寸mm)			
5			535-555	600-620	650-670	4
1	晶科能源	18.21G W	2278x1134x30	2465x1134x35		182
2	天合光能	18.05G W	2384x1096x30	2172x1303x35	2384x1303x33	210
3	隆基绿能	18.02G W	2256x1133x35			182
4	品澳科技	15.67G W	2278x1134x35			182
5	阿特斯	8.73GW	2266x1134x30	2172x1303x35	2384x1303x35	182/21 0
6	东方日升	5.67GW	2384x1096x30	2172x1303x35	2384x1303x35	210
7	正泰	5.5GW	2278x1134x35	2172x1303x35	2384x1303x35	182/21 0
8	尚德	3.75GW	2278x1134x35/2384x1096x30	2172x1303x35	2384x1303x35	182/21 0
9	中环	2.69GW	2384x1096x30	2172x1303x35	2384x1303x35	210
1	一道	2.5GW	2265x1134x30			182

目前市场常用的 182 组件功率区间为 535-555Wp; 210 组件功率区间为 600~670Wp,本次选取 182 组件常用峰值功率 540Wp 和 210 组件常用峰值功率 650Wp 作为基础峰值功率进行标准化方案设计,两种光伏组件的参数见下表。

编号	名称	单位	峰值功率	峰值功率
1.1	峰值功率	Wp	650	540
1.2	开路电压Voc	V	45.5	49.73
1.3	短路电流Isc	А	18.35	13.89
1.4	工作电压Vmppt	٧	37.7	41.13
1.5	工作电流Imppt	А	17.27	13.13
1.6	峰值功率温度系数	%/℃	-0.34	-0.35
1.7	开路电压温度系数	%/℃	-0.25	-0.28
1.8	短路电流温度系数	%/℃	0.04	0.048
1.9	首年功率衰降	%	≤2	≤2
1.10	逐年功率衰降	%	≤0.45	≤0.45
1.11	外形尺寸	mm	2384×1303×35	2274×1134×30
1.12	重量	kg	38.7kg	34.3kg
1.14	向日跟踪方式		固定式	固定式
1.15	固定倾角角度	(°)	40	40

2.1.2 逆变器参数确定

目前油田常用的逆变器功率为 60kW、100kW、225kW、300kW 和 320kW 参数:

编号	名称	单位			功率		
1	输出额定功率	kW	320	300	225	100	60
2	最大交流侧功率	kW	352	330	247.5	110	66
3	最大交流电流	А	254	238.2	178.7	168.8	100
4	最高转换效率	%	99.01	99	99.01	98.6	98.6
5	中国效率	%	98.52	98.5	98.52	98.2	98.3
6	最大直流电压	V _{dc}	1500	1500	1500	1100	1100
7	MPPT范围	V _{dc}	500-1500		200-1000		
8	每路MPPT最大输入电流	Α	40	65	30	26	22
9	额定交流输出电压	V	800V		400/380V		
10	输入路数	路	24	28	20	20	12
11	输出频率	Hz	50				
12	功率因数		0.8超前0.8滞后				

2.1.3 光伏组件串联方案设计

根据《光伏发电站设计规范》GB50797-2012 光 伏方阵组件串联数计算公式,匹配计算取值和公式 如下:

(1) 电池组件计算参数

冬季光伏组件工作温度并非当地环境历年最低温度,冬季环境最低温度一般出现在凌晨 3-4 点钟,此时并未有太阳光出现,因此光伏组件工作时最低温度取极限值-30℃:

夏季电池组件工作温度,按当地环境最高温度, 并附加组件自身发热,考虑极端情况,取 70℃。

(2) 电池组件串并联组合计算 计算公式:

$$\frac{V_{mppt \min}}{V_{pm} \times \left[1 + \left(t' - 25\right) \times K'_{v}\right]} \le N \le \frac{V_{mppt \max}}{V_{pm} \times \left[1 + \left(t - 25\right) \times K'_{v}\right]}$$

式中:

N——光伏组件串联数(N 取整); Vdcmax——逆变器允许最大直流输入电压(V)

Vmpptmax——逆变器 MPPT 电压最大值(V); Vmpptmin——逆变器 MPPT 电压最小值(V)

Voc——电池组件开路电压(V); Vpm——电池组件工作电压(V)

kV——光伏组件的开路电压温度系数; kV'——光伏组件的工作电压温度系数

t——光伏组件工作条件下的极限低温(\mathbb{C}); t'——光伏组件工作条件下的极限高温(\mathbb{C})

(3) 选用的允许最大直流输入电压 Vdc max=1500V 的逆变器,650Wp 组件参数,组件 4 许串联数为 $15.6 \le N \le 28.9$; 540Wp 组件参数,组件允许串联数为 $14.4 \le N \le 26.1$;

(4) 选用的允许最大直流输入电压 Vdc $\max=1100 \text{ V}$ 的逆变器,650Wp 组件参数,组件允许 串联数为 $6.3 \leq N \leq 21.2$;540Wp 组件参数,组件允许 许串联数为 $5.7 \leq N \leq 19.1$ 。

经过计算组串联常用的串联数为28块、26块、20块、18块。

光伏标子阵标准化系列可分为桩基础系列、浅 基础系列和废旧油管式光伏橇系列。

本次标准化定型图优先以2x6和2x10模型开展 废旧油管式光伏橇设计,后续根据具体情况再完善 标准化设计。

- 2.2 可移动式预制浅基础光伏橇设计方案
- 2.2.1 预制浅基础主要技术数据
- (1) 光伏支架结构设计工作年限为25年。
- (2) 抗震设防烈度为 6 度,设计基本地震加速度值为 0.05g。
- (3)风荷载:光伏支架地基基础设计时按 50 年重现期确定基本风压,本项目取 0.55kN/m²; 地面光伏支架设计时,按 25 年重现期确定基本风压,本项目取 0.47kN/m²。地面粗糙类别为 B 类。
- (4) 雪荷载: 光伏支架地基基础设计时按 50 年重现期确定基本风压,本项目取 0.30kN/ m^2 ; 光伏电站的光伏支架雪荷载按 25 年重现期确定基本雪压,本项目取 0.26kN/ m^2 。
- (5) 光伏支架结构安全等级为三级,基础设计等级丙级。
 - (6)地下水和地基土对混凝土及钢筋混凝土结

构中的钢筋具微腐蚀性,对钢结构具弱腐蚀性。

2.2.2 2×6 模型设计

光伏组件排列采用竖向双排布置,固定倾角 40°, 光伏组件最低点距地面 1.2m。为减少风压,组件与 组件之间留有 20mm 空隙,每榀支架由斜梁、立柱、 斜撑组成。在支架斜梁之间,按照光伏组件的安装 宽度设置檩条,用于支撑光伏组件的重量。支架、檩 条及组件均采用螺栓连接。

基础采用预制混凝土独立基础。废旧油管式光 伏橇采用废旧油管制作橇座和支架、废旧抽油杆制 作支撑,将混凝土基础布置于地面,便于运输和快速组装。

2.3 光伏撬载荷分析

风荷载按照 50 年一遇取基本风压 0.55KN/m² 计算,通过对支架、斜梁等构件的抗压、抗弯、抗剪、平面稳定性、整体稳定性分析计算,前后基础的抗滑移、抗倾覆、抗拔验算,构建强度、稳定性和基础受力等性能参数均达到国家标准规范要求,可抗瞬间 10 级风,光伏撬结构形式满足油田光伏项目建设需求。

2.4 废旧油管焊接工艺分析

J55 油管材质具有碳当量高、强度高、淬硬性高,焊接性能差等特点,焊接接头易出现较高的冷裂、晶体粗化、焊不透、焊偏等缺陷。在油管与其他材质焊接时需要进行焊接工艺评定,确定合理的焊接方法、焊接材料、预热温度等各种参数后方可进行焊接。

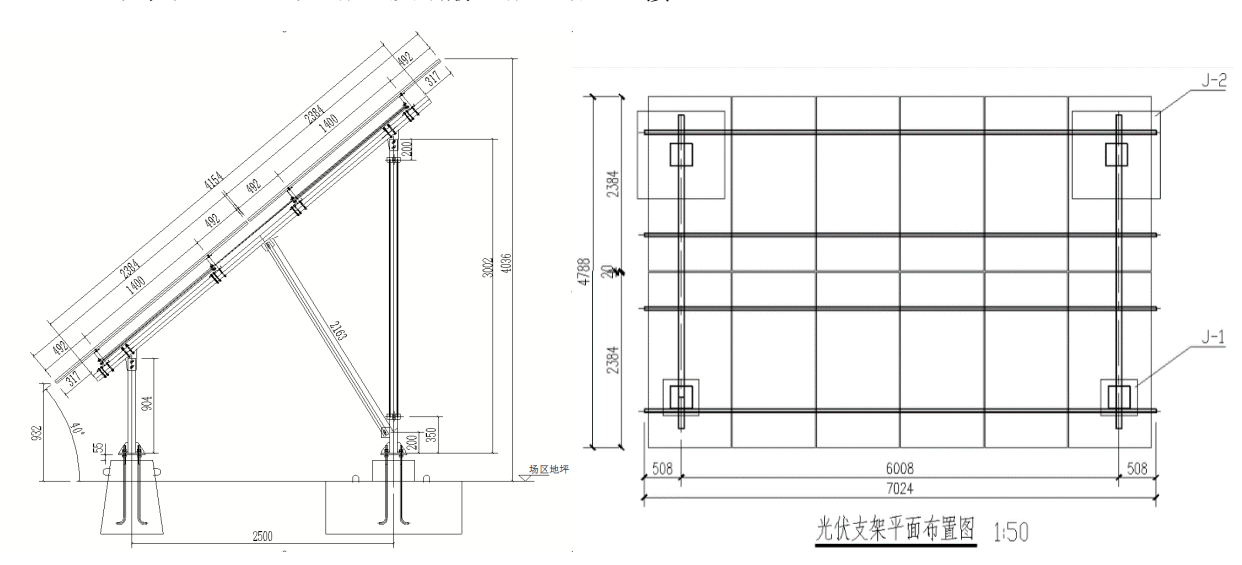


图 2 2×6 模型方案图

侯宇迪 光伏撬装系列化研究

檩条 单构件截面验算计算书

第1章 设计资料

截面参数

回管截面 B=73.00mm,H=62.00mm

设计会参 净毛面积比: 0.85

徽面上翼缘侧向支撑长度: 3000.00mm

徽面下翼缘侧向支撑长度: 2250.00mm

抗震等级:三级 组合类别: 非地震组合

钢号 Q355

钢材拉压弯强度设计值 f=305.00MPa 钢材抗剪强度设计值 fv = 175.00MPa

全国高级性能设计构件类别: 耗能构件

室厚比等級: S3 級

是否为耗能构件: 否

是否顶层梁: 否

是否考虑畸变失稳:是 设计依据

《钢结构设计标准》(GB 50017-2017)

第2章 强度计算结果

1.截面特性验算 A = 1166.32mm²

I_x = 668663.69mm⁴; I_r = 668663.69mm⁴

i_x = 23.94mm; i_y = 23.94mm;

 $W_{1x} = 18319.55 \text{mm}^3$; $W_{2x} = 18319.55 \text{mm}^3$

 $W_{1\gamma} = 18319.55 \text{mm}^3$; $W_{2\gamma} = 18319.55 \text{mm}^3$; 奇矩设计值

 $M_x = |-1.40| \times 1000000.00 = 1396465.88N.mm$

M_y = |0.18|×1000000.00 = 180899.16N.mm

2.强度验值

香龄力拉馨调款系数v=100 由钢结构标准 6.1.2 条可知

截面塑性发展系数

 $\gamma_{x1} = 1.20, \ \gamma_{x2} = 1.20$

 $\gamma_{y1} = 1.20, \ \gamma_{y2} = 1.20$

由钢结构标准 8.1.1-2 条可知。 圆管截面

 $\sigma_{max} = \frac{\sqrt{M_x^2 + M_y^2}}{\gamma_+ W_-}$

 $= \sqrt{1396465.88^2 + 180899.16^2}/(1.20 \times 18319.55 \times 0.85)$

= 75.36N/mm² < [fy] = 305.00N/mm²

最大强度验算应力满足要求

$$\begin{split} &\sigma_{min} = \frac{\sqrt{M_a^2 + M_y^2}}{\gamma_m W_n} \\ &= -\sqrt{1396465.88^2 + 180899.16^2}/(1.20 \times 18319.55 \times 0.85) \end{split}$$

-75.36N/mm² > [-fy] = -305.00N/mm

最小强度验算应力满足要求

第3章 整体稳定性计算结果

1.截面特性验算

A = 1166.32mm

 $I_x = 668663.69 \text{mm}^4$; $I_y = 668663.69 \text{mm}^4$;

i. = 23 94mm; i. = 23 94mm

 $W_{1s} = 18319.55 \text{mm}^3$; $W_{2s} = 18319.55 \text{mm}^3$; $W_{1y} = 18319.55 \text{mm}^3$; $W_{2y} = 18319.55 \text{mm}^3$

弯矩设计值

 $M_x = |-1.40| \times 1000000.00 = 1396465.88N.mm$ M. = |0.18|×1000000.00 = 180899.16N.mm

2.群体趋空验管 由钢结构标准附录 C.0.5 条可知

整体稳定系数

 $\omega_b = 1.00$ $\sigma_{\rm sx} = \frac{M_{\rm x}}{\phi_{\rm b} W_{\rm x}} = \frac{1396465.88}{1.00 \times 18319.55} = 76.23 N/{\rm mm}$

 $\sigma_{wy} = \frac{M_y}{\gamma_y W_y} = \frac{180899.16}{1.20 \times 18319.55} = 8.23 \text{N/mm}^2$

由钢结构标准 6.2.3 条可知

 $\sqrt{\sigma_{xx}^2 + \sigma_{xy}^2} = \sqrt{76.23^2 + 8.23^2} = 76.67 \text{N/mm}^2 < f = 305.00 \text{N/mm}^2$

截面整体稳定压应力满足要求

第4章 抗剪计算结果

1.截面特性验管

A = 1166.32mm

I_v = 668663.69mm⁴: I_v = 668663.69mm⁴

i. = 23 94mm: i. = 23 94mm:

 $W_{1-} = 18319.55 \text{mm}^3$. $W_{2-} = 18319.55 \text{mm}^3$. $W_{1y} = 18319.55 \text{mm}^3$; $W_{2y} = 18319.55 \text{mm}^3$;

2.杭煎承载力计算

剪力设计值

V = |-2.57| × 1000.00 = 2568.88N

 $\tau = \frac{V}{b_w h_w} = \frac{2568.88}{11.00 \times 73.00} = 3.20 N/mm^2 \le f_v = 175.00 N/mm^2$

満足受剪强度要求

图 3 檩条计算结果简图

3 效益分析

3.1 直接经济效益

从 2023 年 1 月至今, 浅基础光伏撬已经在大庆 油田采油一厂至采油六厂推广应用约 16500 座光伏 撬,并送电上网投入使用,现场运行效果良好,得到 用户认可,共计形成推广应用收入约6.74亿元,经 济效益可观。

3.2 社会效益

新型光伏撬装主体材料采用油田废旧油管, 达 到环保要求的同时,废旧物资再利用也能降低成本, 更可省去多余的废旧油管处理费用,一举多得,可 移动的撬装设计也保证了在场地变动情况下,光伏 发电撬装的重复利用性,避免了固定式橇座可能出 现的浪费现象。

4 市场前景

随着新型光伏撬装的研制成功,光伏产品在油 田的安装及井场间迁移效率大幅度提高,同时固定 方式由桩基固定改为浅基础固定,降低了固定式光 伏施工导致的油田管线失效的风险, 不但减少了新 能源开发利用的时间成本,而且能够节省工程中因 油田管线失效而导致的额外修理支出,提高了施工 效率,应用前景广阔。

5 结论

本项目完成了开题报告规定的全部研究内容,

样机设计、制造完成,现场试验圆满结束,样机各项运行指标达到开题报告的要求,能满足生产需要,得到用户全面认可。

通过用户现场使用证明本项目思路清晰,攻关 方向准确,技术方案合理,满足用户要求,为我们光 伏撬装产品提供了更为广阔的发展空间。

参考文献

- [1] 蒋卓凡.分布式光伏电站设计中的电气设计技术分析[J]. 智能建筑与智慧城市,2024,(10):146-148.
- [2] 张健,李允博,郭鹏,等.高渗透率分布式光伏电源接入线路停电检修反孤岛技术[J].电力电容器与无功补偿,2024,45(05):125-132.
- [3] 周燕,刘卫民,陈帆,等.不同光伏渗透率下考虑需求响应的配电网储能双层规划[J].高压电器,2024,60(10):64-77.
- [4] 杜孝东,李伟,齐向阳,等.光伏区异质环境下土壤理化特性及化学计量特征分析[J/OL].草地学报,1-17[2024-10-

- 18].http://kns.cnki.net/kcms/detail/11.3362.S.20241014.18 39.006.html.
- [5] 龙海珊,刘凯.民用建筑中分布式光伏发电系统并网方案 探讨[J].智能建筑电气技术,2024,18(05):85-88+118.
- [6] 蔡晓冬,王伟峰,刘庆发.分布式小光伏数据采集研究与应用[J].信息系统工程,2024,(10):40-43.
- [7] 廖明浩.建筑光伏系统并网技术及其对电气系统的影响 分析[J].装备维修技术,2024,(05):85-87+90.
- [8] 王美婷,梁莉娜,刘英.延安市旅游资源开发现状及其发展探析[J].旅游纵览,2024,(08):155-157.